

防衛大学校 (正) ○山口 晴幸
 // (学) 鈴木 真司
 // (学) 池永 均

1. はじめに 軟弱土の典型例である泥炭の土質工学的性質について著者らは一連の研究を実施してきた。無機質土に対して泥炭の力学特性は含有される有機物の量及び分解度や形状寸法分布等の質的因子によって大きく支配される。本報告は、寒冷地での気象条件下で生じる温度変化を考慮し、凍結・融解履歴を受けた泥炭の体積変化特性及び非排水せん断特性について実験的に考察を加えた。

2. 実験埼玉県大宮市郊外の泥炭地から採取した繊維性泥炭試料を用いて、予圧密法により練返し再圧密供試体を作製した。直径約75mm、長さ約300mmのシンウォールチューブに供試体を挿入し、-30°Cの冷凍ボックスで一次元的に凍結した後、15-18°Cの恒温槽で再び融解し、種々の期間のもとで凍結・融解履歴を受けた供試体についてUUとCU試験を実施した。表1は試料

条件を示したもので、 T_f は凍結期間、 T_m は融解期間を示し、例えば、No.9は凍結($T_f=10$ 日)と融解($T_m=10$ 日)を3回繰り返し

たことを意味する。ここでは、 T_f と T_m を最大で100日とした。なお、CUと

UU試験では間隙水圧の測定を行った。

3. 実験結果と考察

3.1 凍結・融解過程での体積変化

図1は凍結及び融解後のシンウォールチューブ内

での供試体の形状変化を図式化したものである。

供試体周面からの凍結が進行し供試体は長軸方向

に盛り上がる傾向を呈し、図2に示すように、凍結

期間 $T_f=100$ 日で供試体高さが約10-30%増大し、融

解後には約10%以内の増大(図3)となり、供試体直

径は4-10%の減少(図4)を示した。このような供試

体の形状変化に伴って融解時には、図5に示すよう

に約30%の含水比の低下が見られ、この水分量($\Delta m/m_s$)の減少は乾燥質量(m_s)に対して約10-50%であつ

た(図6)。また、図7は凍結期間 $T_f=10$ 日、融解期間

$T_m=10$ 日として、凍結・融解の繰り返しに伴う凍結限

の供試体高さと融解時の直径及び質量変化($\Delta H_f/H_i$ 、 $\Delta D_s/D_i$ 、 $\Delta m/m_s$)を繰り返し回数(r)に対して

No.	T_f (day)	T_m (day)	w_i (%)	Lig	G_s	m_i (g)	H_i (mm)	D_i (mm)	w_o (%)	P_o^* (kPa)	Test type
1	100	10	511	64	1.68	808	170.7	74.4	222	45.3	
2	0	0	460	44	2.08	964	187.3	75.0	243	45.3	
3	70	10	511	56	1.89	961	205.7	74.7	287	48.5	
4	100	10	404	53	1.91	897	190.3	74.5	263	46.5	
5	100	30	511	53	1.93	941	201.4	74.3	252	46.5	
6	0	0	455	45	1.98	941	194.7	74.3	259	44.4	CU test
7	(10 - 10)	3500	46	1.98	935	192.1	74.3	285	45.2		
8	10	10	400	46	2.00	900	191.4	73.7	277	45.6	
9	(10 - 10)	3421	47	2.03	880	185.4	74.3	341	46.1		
11	10	10	728	68	1.86	796	176.2	74.3	522		
12	0	0	458	57	2.11	885	181.1	74.7	387		
13	100	30	593	43	1.93	1015	217.5	74.8	351		
14	100	70	404	47	2.02	925	197.7	74.6	357		
15	60	10	416	54	2.08	1005	222.1	74.8	294		
16	0	0	457	56	2.07	840	184.6	74.4	361		
17	10	10	440	55	2.00	833	177.1	72.3	301		UU test
18	100	100	511	43	1.88	832	170.9	73.7	364		
19	(10 - 10)	2440	54	2.03	870	179.1	73.8	289			
20	(10 - 10)	3607	46	2.05	802	188.7	73.2	403			
21	100	50	593	62	1.68	966	204.7	74.8	407		

T_f :Freezing duration, T_m :Thawing duration, w_i :Initial water content
 Lig:Ignition loss, G_s :Specific gravity, m_i :Initial mass, H_i :Initial height, D_i :Initial diameter, w_o :Water content prior to shear, P_o^* :Consolidation pressure.
 Table 1

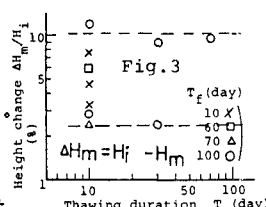


Fig. 3

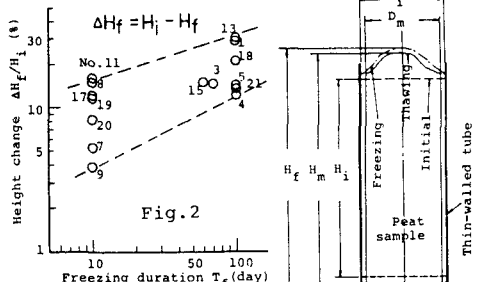


Fig. 2

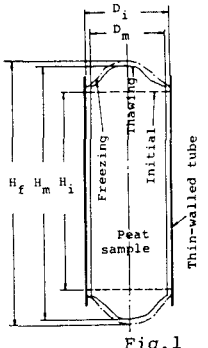


Fig. 1

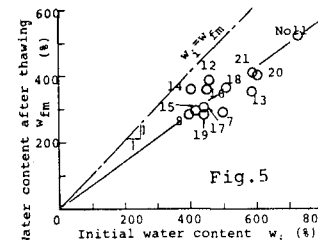


Fig. 5

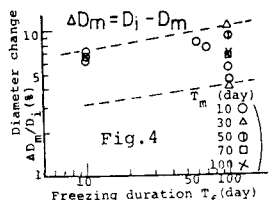


Fig. 4

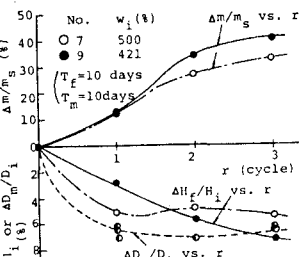


Fig. 7

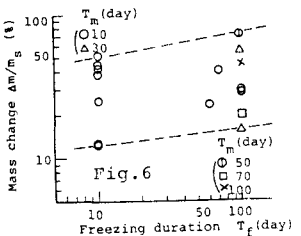


Fig. 6

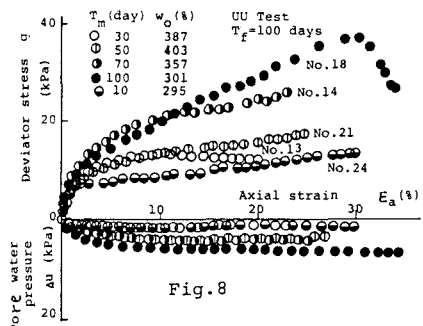


Fig. 8

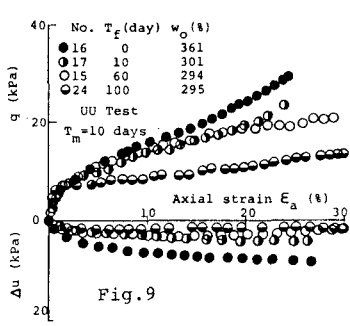


Fig. 9

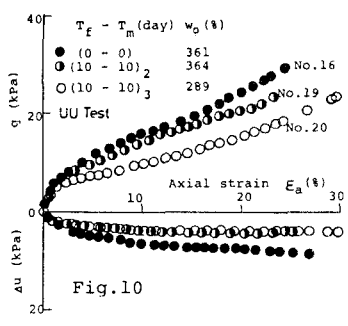


Fig. 10

プロットしたものである。この結果によると、3回程度の凍結・融解の繰返しによって供試体の形状及び質量変化はほぼ平衡状態に達し前図で示した100日間凍結後融解した供試体の結果に類似していることがわかる。

3.2 非排水せん断特性 凍結期間(T_f)及び融解期間(T_m)を最大でそれぞれ100日とした T_f と T_m の各種異なる一連の供試体についてUUとCU試験を実施し、泥炭

の非排水せん断特性に及ぼす凍結・融解履歴の効果について調べた。UU試験では拘束圧力 P_c を53kPaとし、またCU試験では $P_c=150$ kPaで100kPaのバックプレッシャーを作用し圧密圧力 $p'_0=50$ kPaとした。図8-10はUU試験から得られた軸差応力($q=\sigma_1 - \sigma_3$)-間隙水圧(Δu)-軸ひずみ(ε_a)関係を示している。これらの結果より、泥炭の挙動は凍結・融解効果を顕著に受け、 $T_f=100$ 日とした結果によると融解期間(T_f)の増大に伴って同一軸ひずみで発揮される軸差応力が増大し、これに対して、融解期間 $T_m=10$ 日とした結果によると凍結期間 T_f の増大にともない軸差応力が低下し、凍結と融解の作用は相反する効果を与えていることが分かる。

間隙水圧挙動においても同様の傾向が認められる。また、凍結・融解の繰返し効果は凍結期間の効果に類似している。図11と12に軸ひずみ20%を破壊状態と見なし、せん断強さ C_u と間隙水圧 Δu_f をプロットしている。 C_u と Δu_f は未凍結供試体の C_u と Δu_f である。これより、 T_m に伴う C_u の増加は主にシキソトロピー効果、 T_f あるいは $(T_f - T_m)$ の繰返しによる C_u の低下は構造の乱れの助長によるものと推察される。一方、図13-16に示すCU試験の結果では凍結・融解履歴を受けた供試体の有效応力経路は未凍結供試体のそれより右側に位置し、破壊時特性に於て逆の傾向が認められる。即ち、 T_f の増大に伴い C_u は増加し、 T_m の増

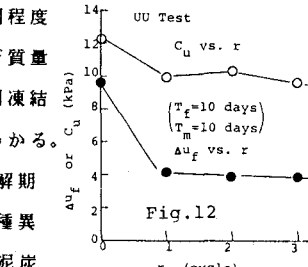


Fig. 12

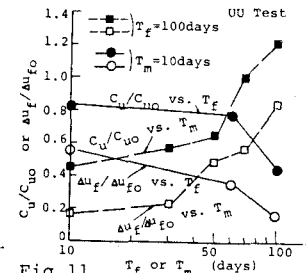


Fig. 11

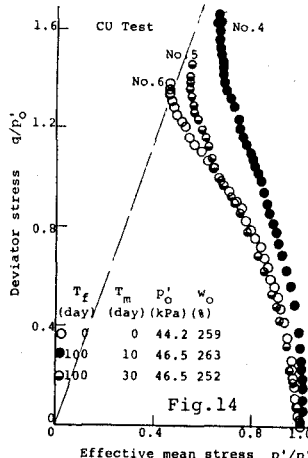


Fig. 14

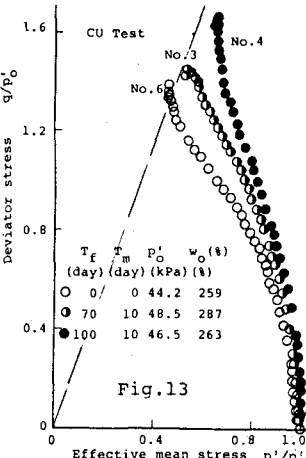


Fig. 13

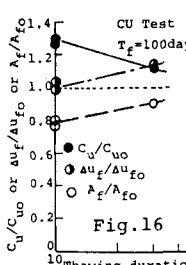


Fig. 16

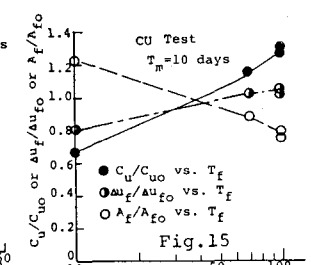


Fig. 15

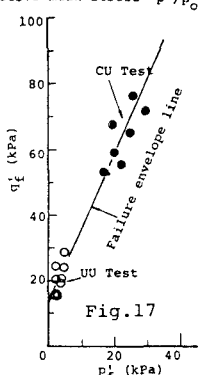


Fig. 17

大に伴い C_u は低下する結果となっている。しかし、UUとCU試験での各種の供試体での応力状態はほぼ同一の破壊包絡線で近似できる(図17)。